

Wydział Elektroniki i Technik Informacyjnych
Politechnika Warszawska

Sterowanie Procesami

Sprawozdanie z projektu nr 2
zadanie nr 49

Mikołaj Wewiór
318407

Warszawa, 2023

Wprowadzenie

Obiekt regulacji opisany jest transmitancją ciągłą:

$$G(s) = \frac{K_0 e^{-T_0 s}}{(T_1 s + 1)(T_2 s + 1)}$$

gdzie: $K_0 = 4,3$, $T_0 = 5$, $T_1 = 1,89$, $T_2 = 4,92$. Po podstawieniu stałych do wzoru otrzymujemy:

$$G(s) = \frac{4,3}{(1,89s + 1)(4,92s + 1)} \cdot e^{-5s} = \frac{4,3 \cdot e^{-5s}}{9,2988s^2 + 6,81s + 1} = \frac{4,3 \cdot e^{-5s}}{s^2 + 0,7324s + 0,1075}$$

1. Wyznaczenie transmitancji dyskretnej

Do wyznaczenia transmitancji dyskretnej wykorzystałem ekstrapolator zerowego rzędu. Czas próbkowania został przyjęty jako $T_p = 0,5s$. Sprowadza się to do zastosowania następującego wzoru:

$$G(z) = \left(\frac{z-1}{z} \right) \cdot Z \left(\frac{G(s)}{s} \right)$$

Do dalszych obliczeń zamieniłem transmitancję $G(s)$ na iloczyn $G_0(s) \cdot e^{-T_0 s}$. Z tabeli transformat możemy w szybki sposób znaleźć dyskretny odpowiednik fragmentu odpowiedniego za opóźnienie. Człon $e^{-5s} = e^{-10 \cdot 0,5s}$ w dziedzinie transformaty Z jest równoważny wyrażeniu z^{-10} . Dzięki temu, że transformaty Laplace'a i Z są liniowe, możemy skorzystać z zależności, że transformata iloczynu jest równa iloczynowi transformat. Dlatego poniżej obliczyłem transmitancję $G_0(z)$, która następnie została wymnożona przez człon z^{-10} .

W pakiecie Matlab skorzystałem z funkcji `c2dm`, o składni:

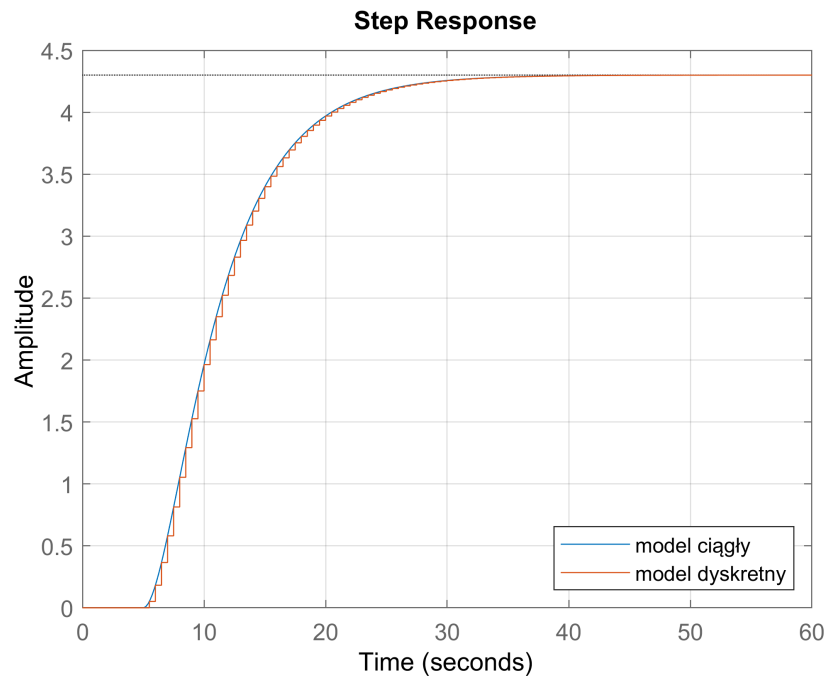
$$[\text{licz_d}, \text{mian_d}] = \text{c2dm}(\text{licz_c}, \text{mian_c}, T_p, 'zoh'),$$

gdzie `c` oznacza ciągłą dziedzinę czasu, a `d` dyskretną. Po wyliczeniu współczynników możemy przedstawić postać macierzy $G_0(z)$:

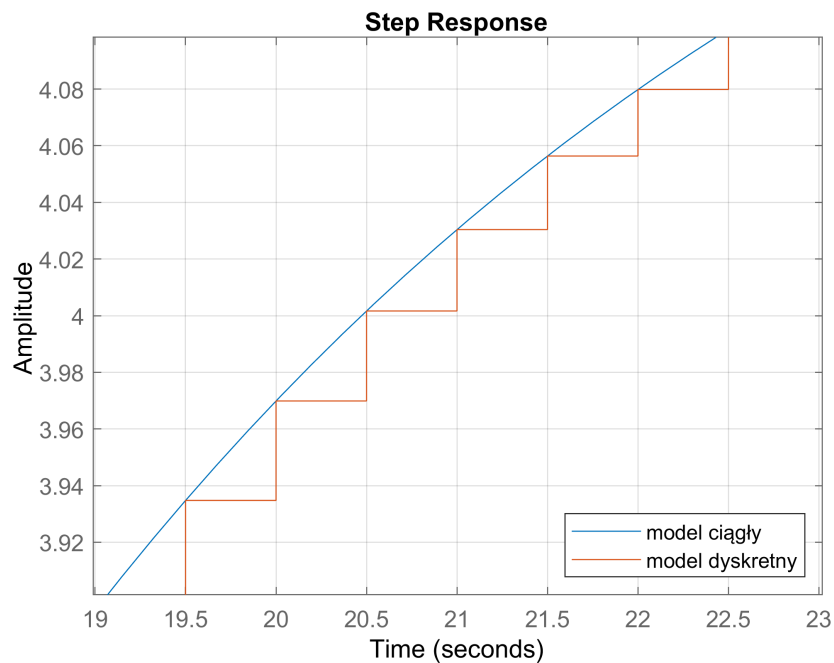
$$G_0(z) \approx \frac{0,0596z^{-1} + 0,0527z^{-2}}{1 - 1,6709z^{-1} + 0,6934z^{-2}}$$

Ostatecznie transmitancja dyskretna obiektu dana jest wzorem:

$$G(z) \approx \frac{0,0596z^{-11} + 0,0527z^{-12}}{1 - 1,6709z^{-1} + 0,6934z^{-2}}$$



Rys. 1. odpowiedź skokowa transmitancji ciągłej i dyskretniej



Rys. 2. zbliżenie aby wyrazić czas próbkowania

Widzimy, że model dyskretny bardzo dobrze naśladuje model ciągły. Wzmocnienie statyczne obu modeli jest identyczne i równe co do wartości parametru K , czyli 4,3.

2. Równanie różnicowe modelu dyskretnego

Do otrzymania równania różnicowego z transmitancji dyskretniej wykorzystałem następującą funkcję matlaba:

```
W = idpoly(mian_dz, licz_dz)
b = -1*W.A; c = W.B
```

Po podstawieniu otrzymanych wyników równanie różnicowe dane jest wzorem:

$$y(k) = 1,6709y(k-1) + 0,0693y(k-2) + 0,0596u(k-11) + 0,0527u(k-12)$$

3. Dobór ciągłego regulatora PID metodą Zieglera-Nicholsa

Metoda Zieglera-Nicholsa mówi o doprowadzeniu układu do stałych oscylacji, przy czym regulator PID ma włączony jedynie człon proporcjonalny. Gdy układ znajdzie się w takim stanie możemy zapisać obecne wzmocnienie (tzw. krytyczne, ozn. K_k) oraz odczytać z charakterystyki okres oscylacji (T_k). W tym momencie możemy właściwie nastroić regulator z natępującymi nastawami:

$$K_r = 0,6K_k \quad T_i = 0,5T_k \quad T_d = 0,12T_k$$

Transmitancję regulatora PID można zapisać za pomocą parametrów r_0 , r_1 oraz r_2 w następujący sposób:

$$R(z) = \frac{r_2 z^{-2} + r_1 z^{-1} + r_0}{1 - z^{-1}}$$

parametry r dane są poniższymi wzorami:

$$r_0 = K_r \left(1 + \frac{T_p}{2T_i} + \frac{T_d}{T_p}\right), \quad r_1 = K_r \left(\frac{T_p}{2T_i} - 2\frac{T_d}{T_p} - 1\right), \quad r_2 = \frac{K_r T_d}{T_p}$$

po obliczeniu i podstawieniu parametrów transmitancja dana jest wzorem:

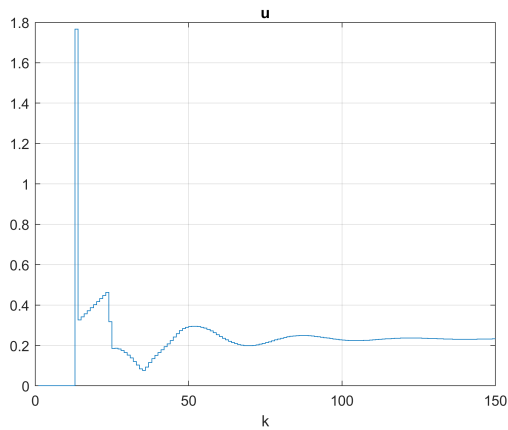
$$R(z) = \frac{1,4562z^{-2} - 3,2082z^{-1} + 1,7671}{1 - z^{-1}}$$

4. Symulacja regulatora PID

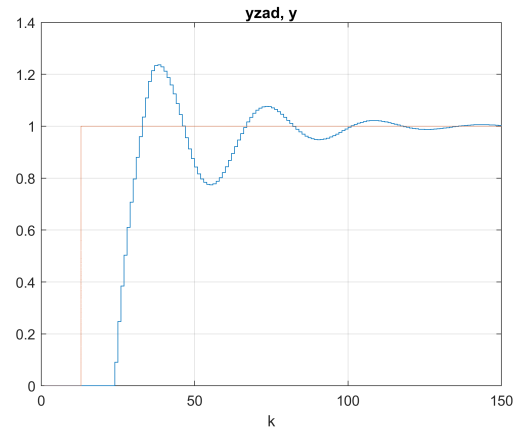
Do symulacji został wykorzystany poprzedni obiekt. W pierwszej części opisano regulator PID. Program do symulacji wykonano w Matlabie, jego kod zaprezentowano poniżej:

```
u(1:12) = 0; y(1:12) = 0; e(1:12) = 0;
yzad(1:12) = 0; yzad(13:koniec) = 1;
for k=13:koniec
    y(k) = b1*y(k-1) + b2*y(k-2) + c11*u(k-11) + c12*u(k-12);
    e(k) = yzad(k) - y(k);
    u(k) = r2*e(k-2) + r1*e(k-1) + r0*e(k) + u(k-1);
end
```

Reakcja obiektu z reglatorem na skok jednostkowy



Rys. 3. sygnał sterujący



Rys. 4. sygnał wyjściowy

Na powyższych rysunkach widać, że regulator nie działa idealnie. Na początku mamy tzw. igłę w sterowaniu, która jest spowodowana członem różniczkującym, który zareagował na dużą różnicę w sygnałach. Obiekt ma też spore opóźnienie, z którym regulatory PID nie zawsze są w stanie sobie poradzić. Dodatkowo obiekt jest obiektem oscylacyjnym co utrudnia jego wyregulowanie.

5. Symulacja i dobór parametrów regulatora DMC

Regulator DMC (Dynamic Matrix Control) jest regulatorem predykcyjnym. Implementację algorytmu należy rozpocząć od zebrania dyskretnych odpowiedzi skokowych obiektu (s_j). Następnie według poniższego algorytmu obliczane jest wyjście obiektu oraz sterowanie regulatora. Obiekt pozostał taki sam jak w poprzednich przypadkach. Parametrami które będą dobierane są: D , N , N_u oraz λ . Listing Matlabowego programu do symulacji:

```
for i=1:N

    for j=1:Nu
        if j <= i
            M(i, j) = s(i-j+1);
        end
    end

    for j=1:D-1
        if i+j>D
            Mp(i, j) = s(D) - s(j);
        else
            Mp(i, j) = s(i+j) - s(j);
        end
    end
end

K_dmc = (M'*M + lambda*eye(Nu)) \ (M');
```

```

for k=13:czas

    y(k) = b1*y(k-1) + b2*y(k-2) + c11*u(k-11) + c12*u(k-12);

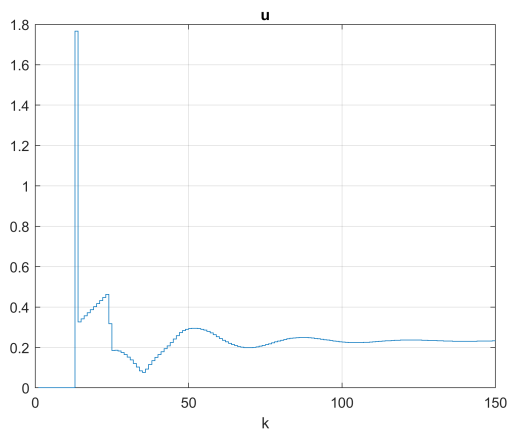
    yk = ones(N, 1)*y(k);
    yo = yk + Mp*delta_uP;
    delta_u = K_dmc * (Yzad - yo);
    delta_uP(2:D-1) = delta_uP(1:D-2);
    delta_uP(1) = delta_u(1);

    u(k) = u(k-1) + delta_u(1);
end

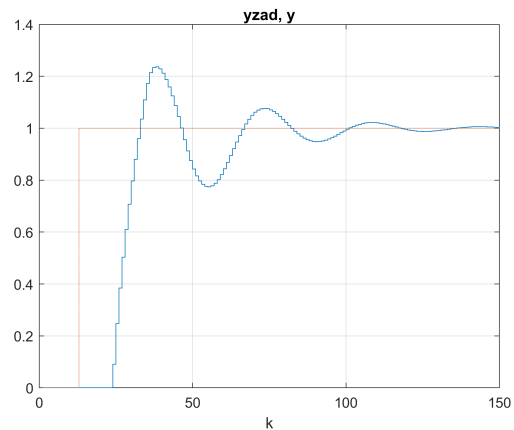
```

Patrząc na charakterystykę odpowiedzi skokowej (rys. 1) uznałem, że wystarczającym horyzontem dynamiki (D) będzie 74, ponieważ po 37 sekundzie (74 próbka przy czasie próbkowania 0,5s) wyjście obiektu jest już praktycznie niezmiennie. Na początek horyzonty predykcji (N) i sterowania (N_u) pozostawiłem równe horyzonowi dynamiki. Parametr (λ), który możemy uznać jako współczynnik kary za przeregulowanie, pozostawiłem równy 1.

$$D = N = N_u = 74, \lambda = 1$$



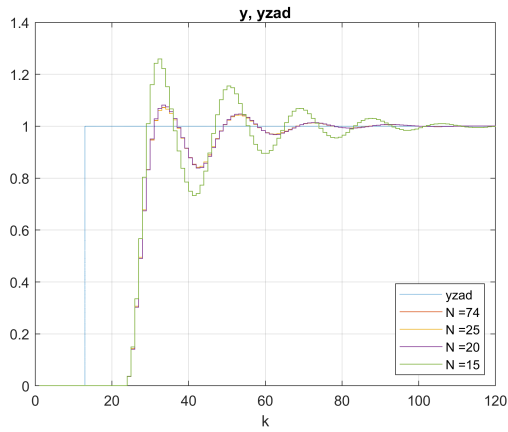
Rys. 5. sygnał sterujący



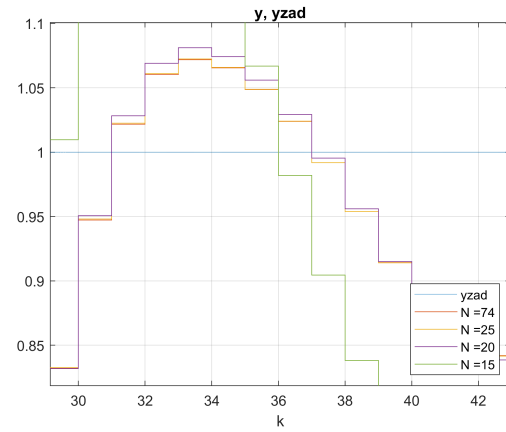
Rys. 6. sygnał wyjściowy

Widzimy, że dla wstępnych nastaw parametrów regulator DMC działa o wiele lepiej od regulatora PID - początkowe przeregulowanie jest prawie dwukrotnie mniejsze, sterowanie oraz wyjście ustalają się o kilkadziesiąt próbek wcześniej.

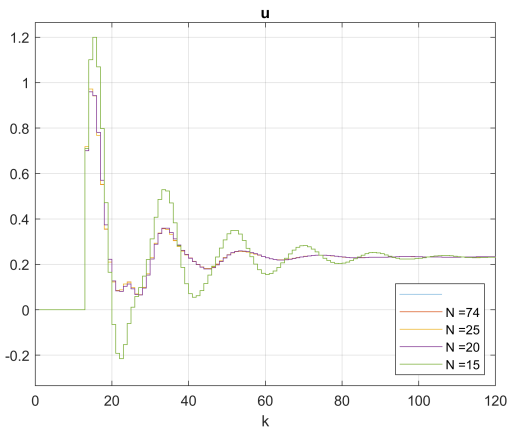
Porównanie naniesionych na siebie charakterystyk dla N równych kolejno [74, 25, 20, 15], $N_u = N$, $D = 74$:



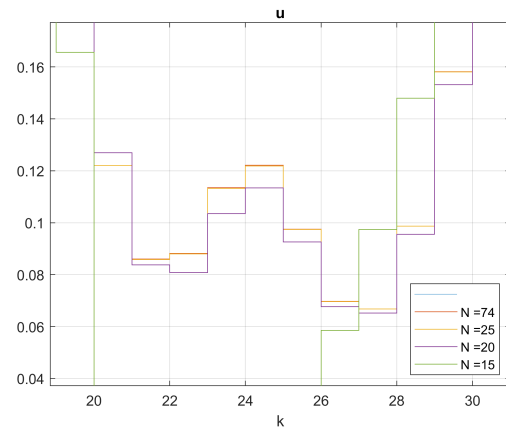
Rys. 7. sygnał wyjściowy



Rys. 8. sygnał wyjściowy - zbliżenie



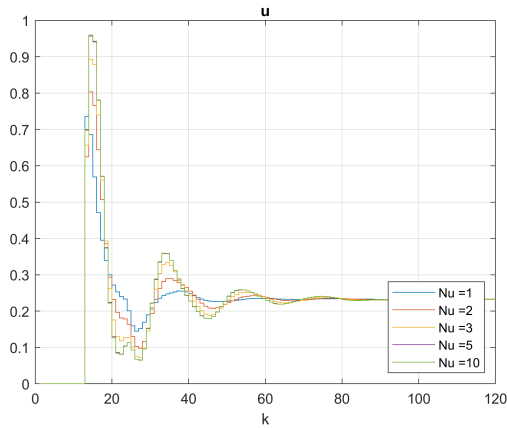
Rys. 9. sygnał sterujący



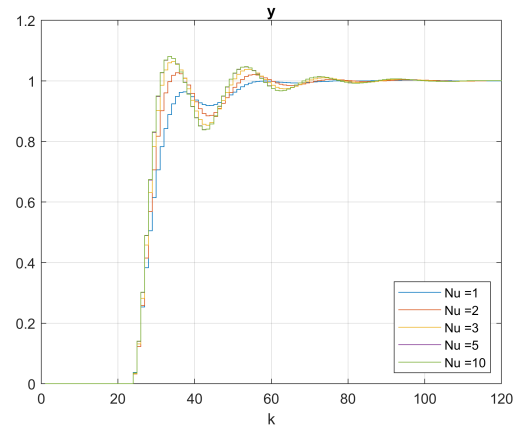
Rys. 10. sygnał sterujący - zbliżenie

Widzimy, że do N równego 25 praktycznie nie widzimy różnicy w przebiegach względem wyższychwartości. Dopiero dla N równego 20, widzimy różnicę w przebiegach, jednak jest ona znikomo mała. Ale już przy 15 zauważmy duże różnice, zarówno w sygnale sterującym, jak i wyjściowym. Dlatego do dalszych badań wybrałem właśnie $N = 20$.

Porównanie naniesionych na siebie charakterystyk dla N_u równych kolejno [1, 2, 3, 5, 10], $N = 20$, $D = 74$:



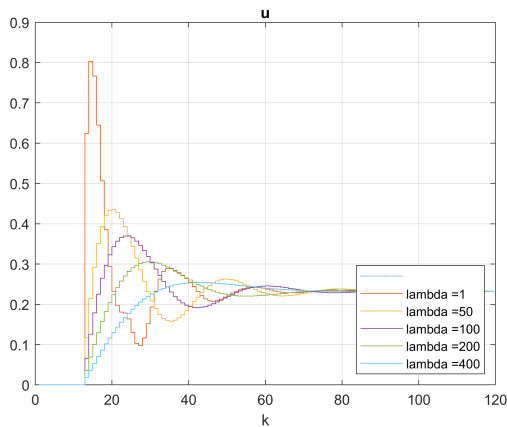
Rys. 11. sygnał sterujący



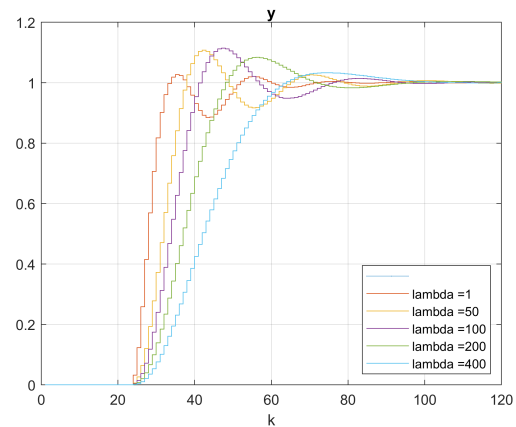
Rys. 12. sygnał wyjściowy

Regulator działa najlepiej dla N_u równego 1. Na początku nieco to mnie zdziwiło jednak, gdy spojrzymy na definicję, to zauważymy, że przy $N_u = 1$, tak naprawdę wyznaczamy jedynie aktualne sterowanie - nie liczymy żadnych przyszłych przyrostów sterowania. Dlatego do dalszych badań skorzystam jednak z N_u równego 2, który w podobnym czasie, ale niestety większym kosztem przesterowania osiąga zadany cel.

Dla regulatora DMC o parametrach: $D = 74$, $N = 20$, $N_u = 2$ należało jeszcze zbadać wpływ współczynnika λ , który jest tzw. współczynnikiem kary za przeregulowanie. Zadaniem było wybranie odpowiedniej λ , która zapewni kompromis między szybkością regulacji obiektu, a postacią sygnału sterującego.



Rys. 13. sygnał sterujący



Rys. 14. sygnał wyjściowy

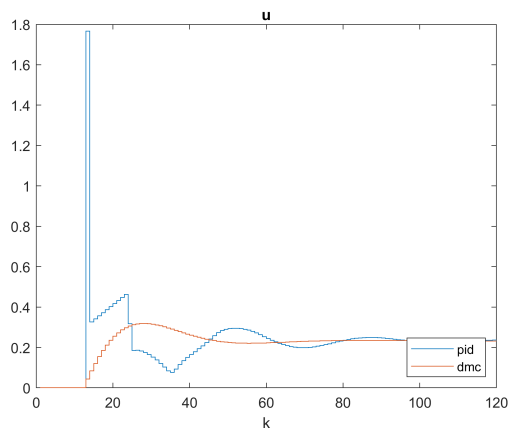
Z powyższych wykresów najlepszym wynikiem wydaje mi się ten, gdzie λ jest równa 200 - sygnał sterujący nie ma szpilek, jego maksymalna wartość nie przekracza stabilnej o 30%, sygnał wyjściowy ustala się minimalnie wolniej oraz nie ma on tak dużego przesterowania jak te z mniejszą λ .

Ostateczne parametry wyglądają następująco:

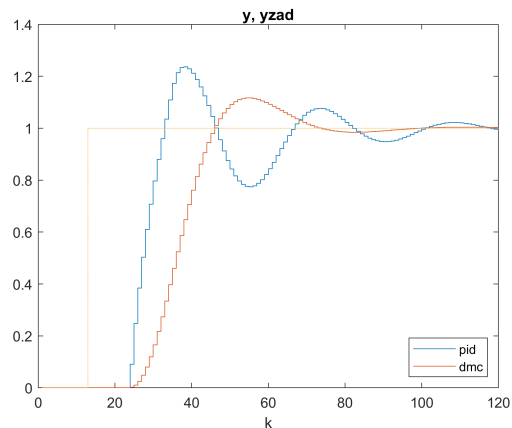
$$D = 74, \quad N = 20, \quad N_u = 2, \quad \lambda = 200$$

6. Porównanie jakości regulacji algorytmów PID oraz DMC

Regulacja algorytmem PID na niebiesko, a DMC na czerwono



Rys. 15. sygnały sterujące



Rys. 16. sygnały wyjściowy

Widzimy, że regulator DMC dużo lepiej poradził sobie z obiektem danym w zadaniu. W regulacji algorytmem DMC doprowadziliśmy do znaczącego zmniejszenia przeregulowania oraz łagodniejszego przebiegu sygnału sterującego. Okazał się on również sposobem na szybsze ustabilizowanie obiektu przy mniejszym przeregulowaniu sygnału wyjściowego.